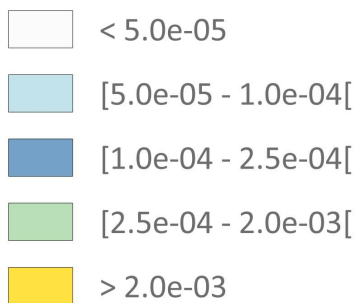


0.5 1 1.5 2 km



Dépôts au sol ($\mu\text{g}/\text{m}^2/\text{s}$)

PM10

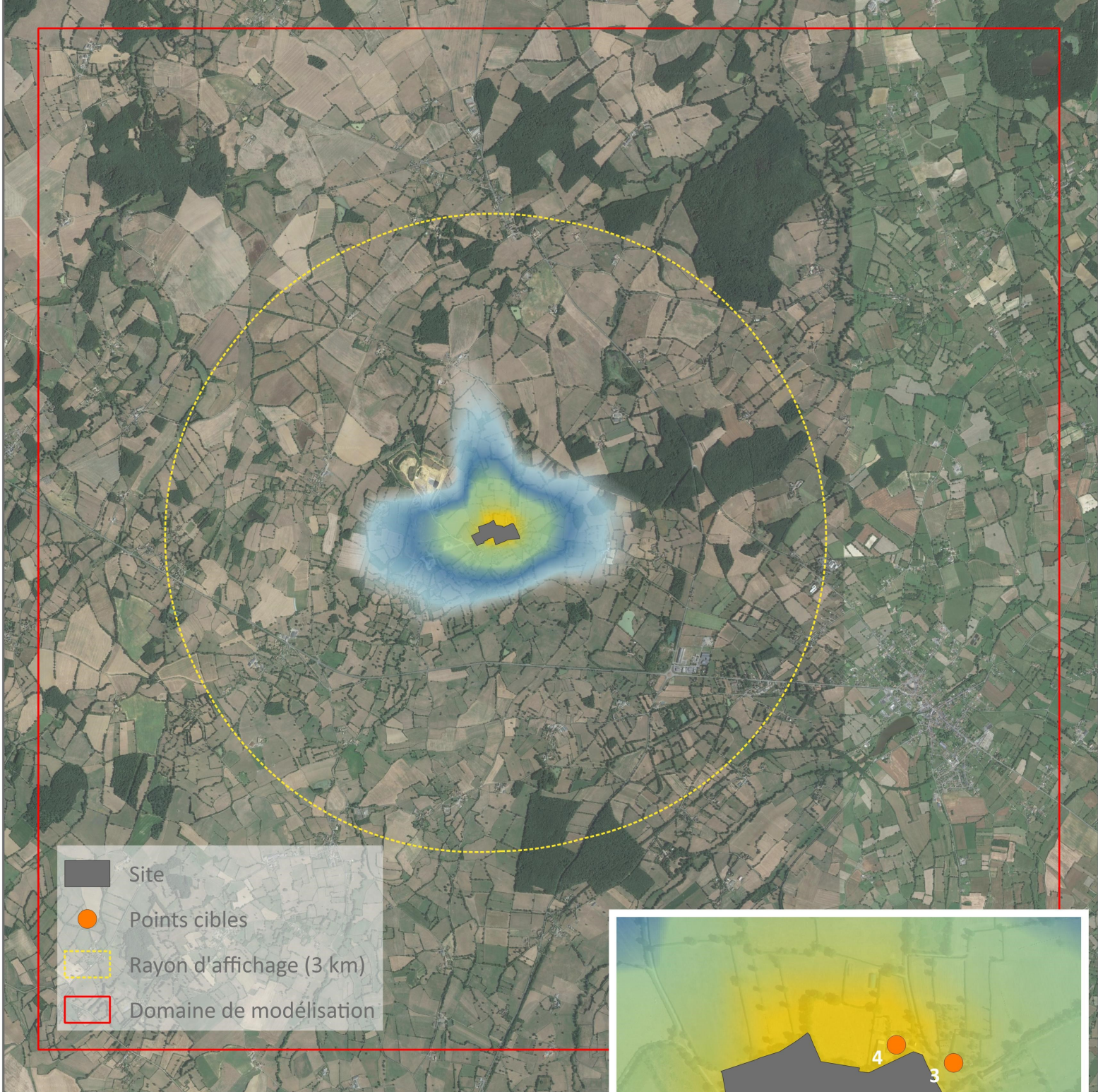


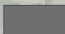


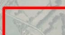
0 100 200 m



Source : image satellite google










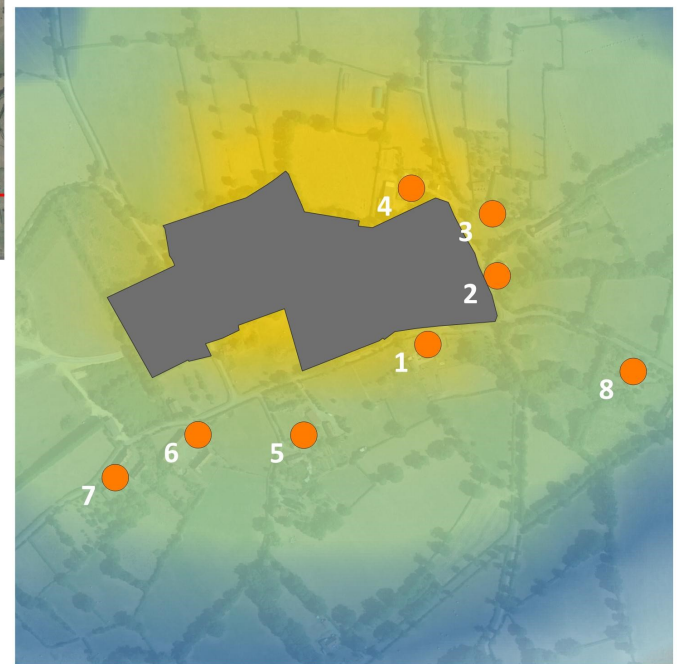
-  Site
-  Points cibles
-  Rayon d'affichage (3 km)
-  Domaine de modélisation

0.5 1 1.5 2 km

Dépôts au sol ($\mu\text{g}/\text{m}^2/\text{s}$)

Benzo(a)pyrène

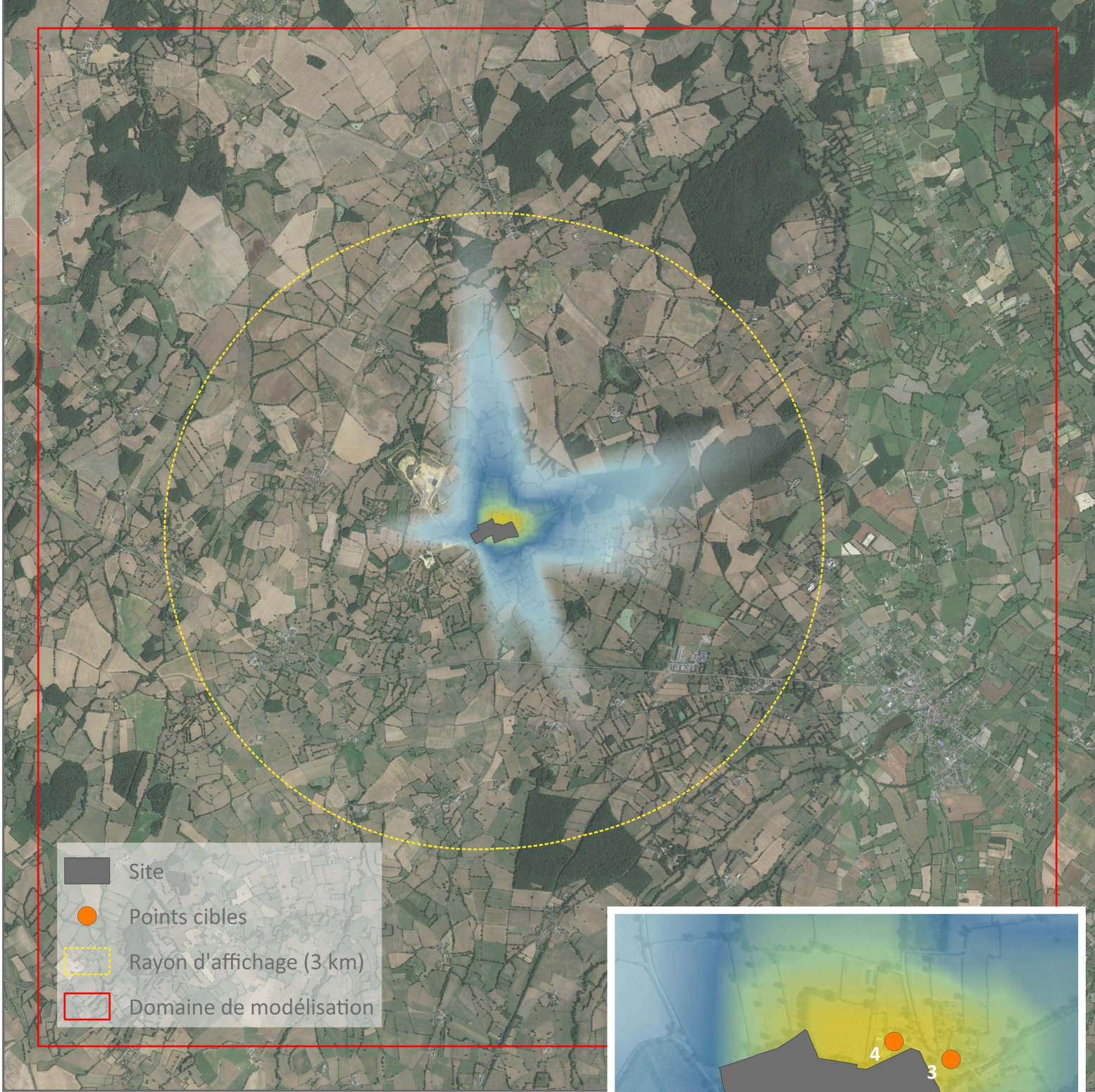
-  $< 2.5\text{e-}13$
-  $[2.5\text{e-}13 - 5.0\text{e-}13]$
-  $[5.0\text{e-}13 - 1.0\text{e-}12]$
-  $[1.0\text{e-}12 - 1.0\text{e-}11]$
-  $> 1.0\text{e-}11$

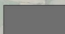





0 100 200 m

Source : image satellite google










-  Site
-  Points cibles
-  Rayon d'affichage (3 km)
-  Domaine de modélisation

0.5 1 1.5 2 km



Dépôts au sol ($\mu\text{g}/\text{m}^2/\text{s}$)

Naphtalène

-  $< 2.0\text{e-}14$
-  $[2.0\text{e-}14 - 5.0\text{e-}14]$
-  $[5.0\text{e-}14 - 1.0\text{e-}13]$
-  $[1.0\text{e-}13 - 2.5\text{e-}13]$
-  $> 2.5\text{e-}13$

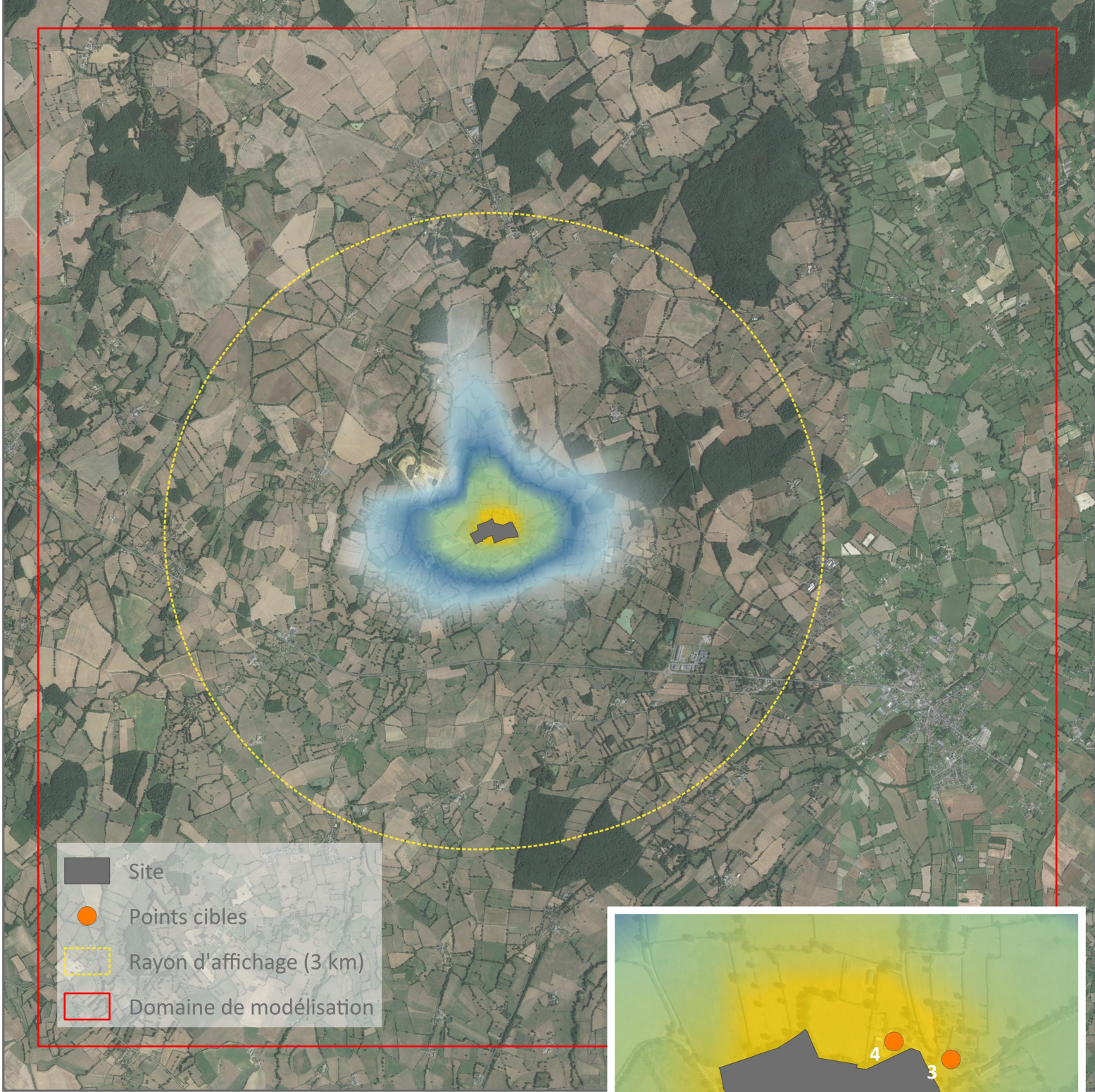


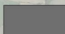



0 100 200 m



Source : image satellite google




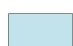





-  Site
-  Points cibles
-  Rayon d'affichage (3 km)
-  Domaine de modélisation

0.5 1 1.5 2 km

Dépôts au sol ($\mu\text{g}/\text{m}^2/\text{s}$)

Cadmium

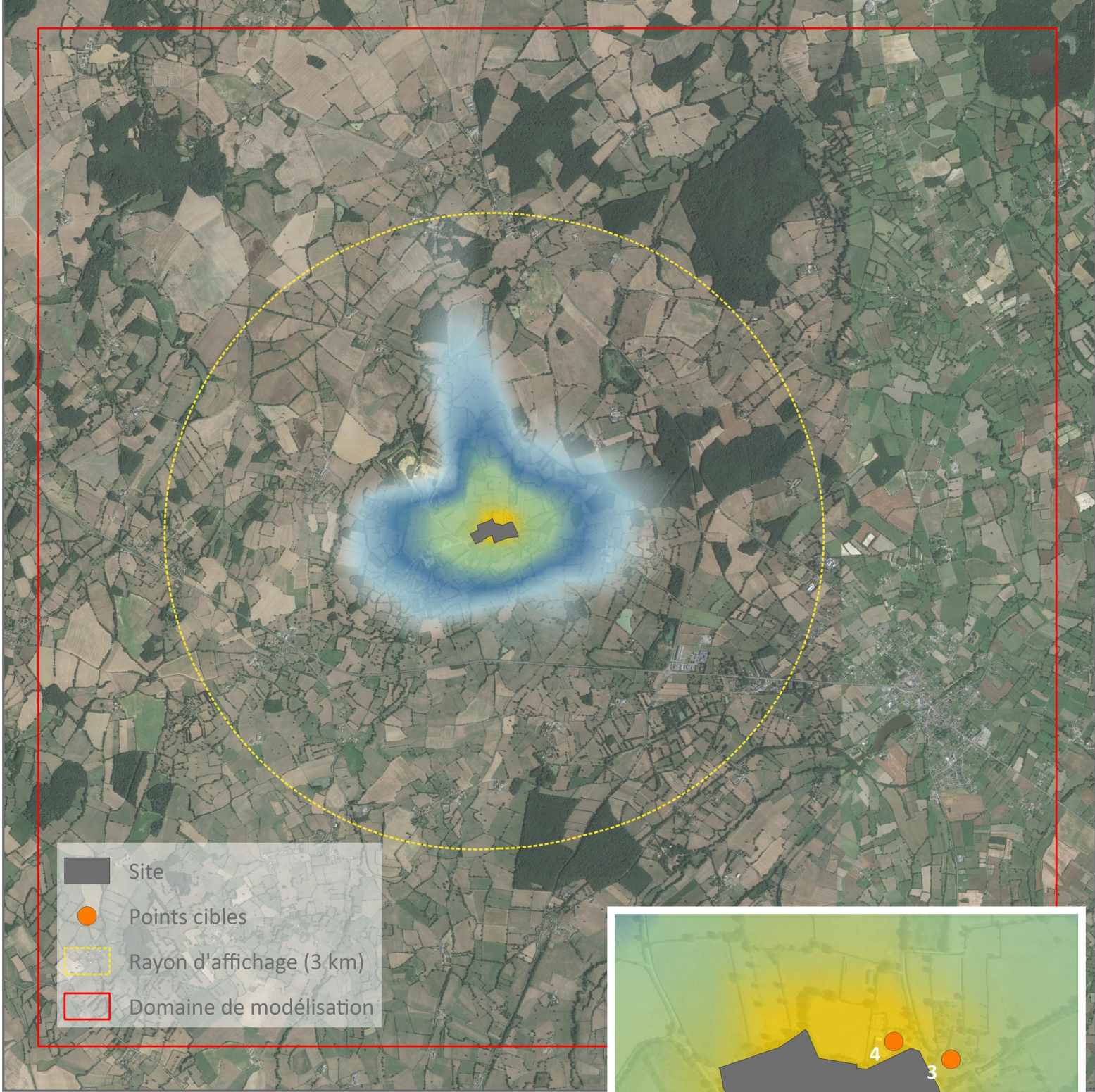
-  $< 2.5\text{e-}12$
-  $[2.5\text{e-}12 - 5.0\text{e-}12[$
-  $[5.0\text{e-}12 - 1.0\text{e-}11[$
-  $[1.0\text{e-}11 - 1.0\text{e-}10[$
-  $> 1.0\text{e-}10$



0 100 200 m

Source : image satellite google





0.5 1 1.5 2 km

Dépôts au sol ($\mu\text{g}/\text{m}^2/\text{s}$)

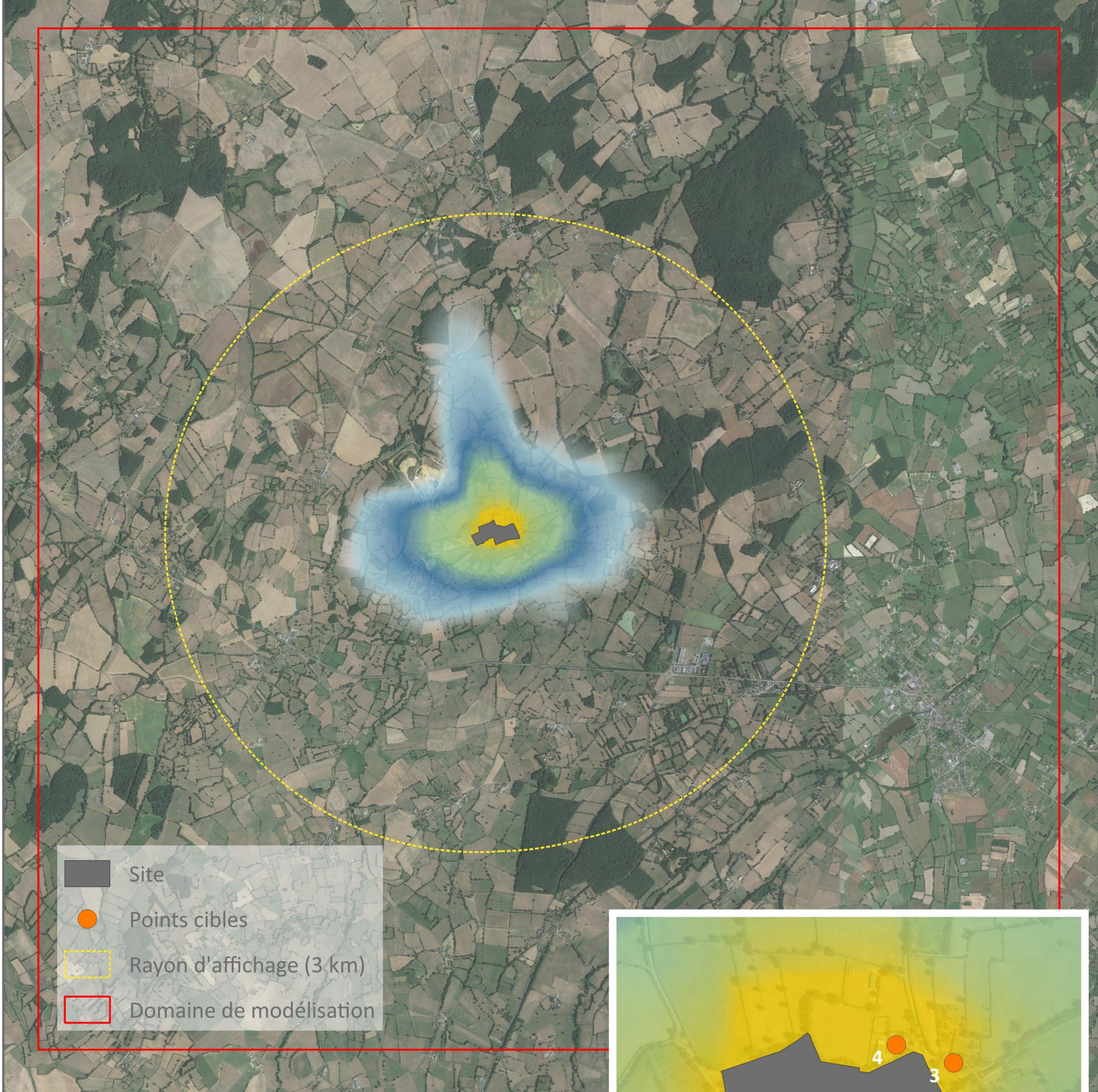
Chrome

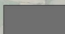


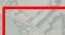
- $< 1.0\text{e-}12$
- $[1.0\text{e-}11 - 2.0\text{e-}11[$
- $[2.0\text{e-}11 - 5.0\text{e-}11[$
- $[5.0\text{e-}11 - 7.5\text{e-}10[$
- $> 7.5\text{e-}10$

0 100 200 m

Source : image satellite google




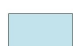





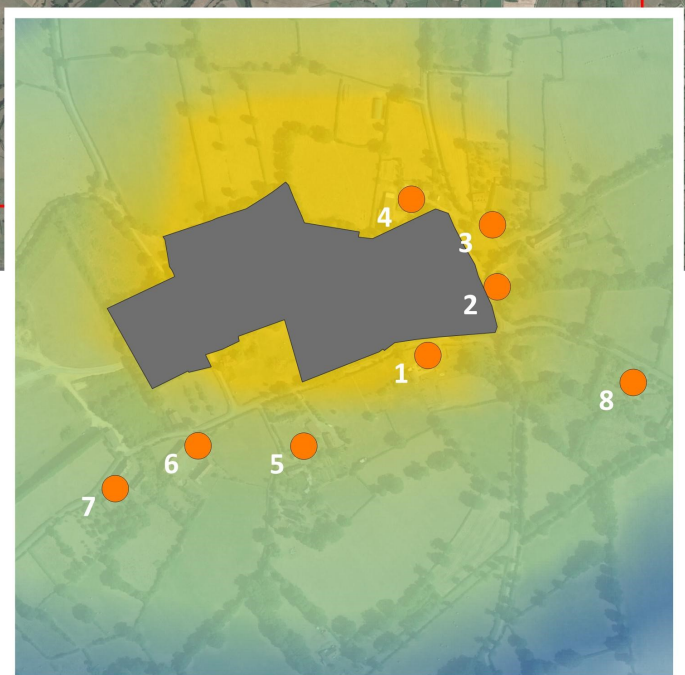
-  Site
-  Points cibles
-  Rayon d'affichage (3 km)
-  Domaine de modélisation

0.5 1 1.5 2 km

Dépôts au sol ($\mu\text{g}/\text{m}^2/\text{s}$)

Cuivre

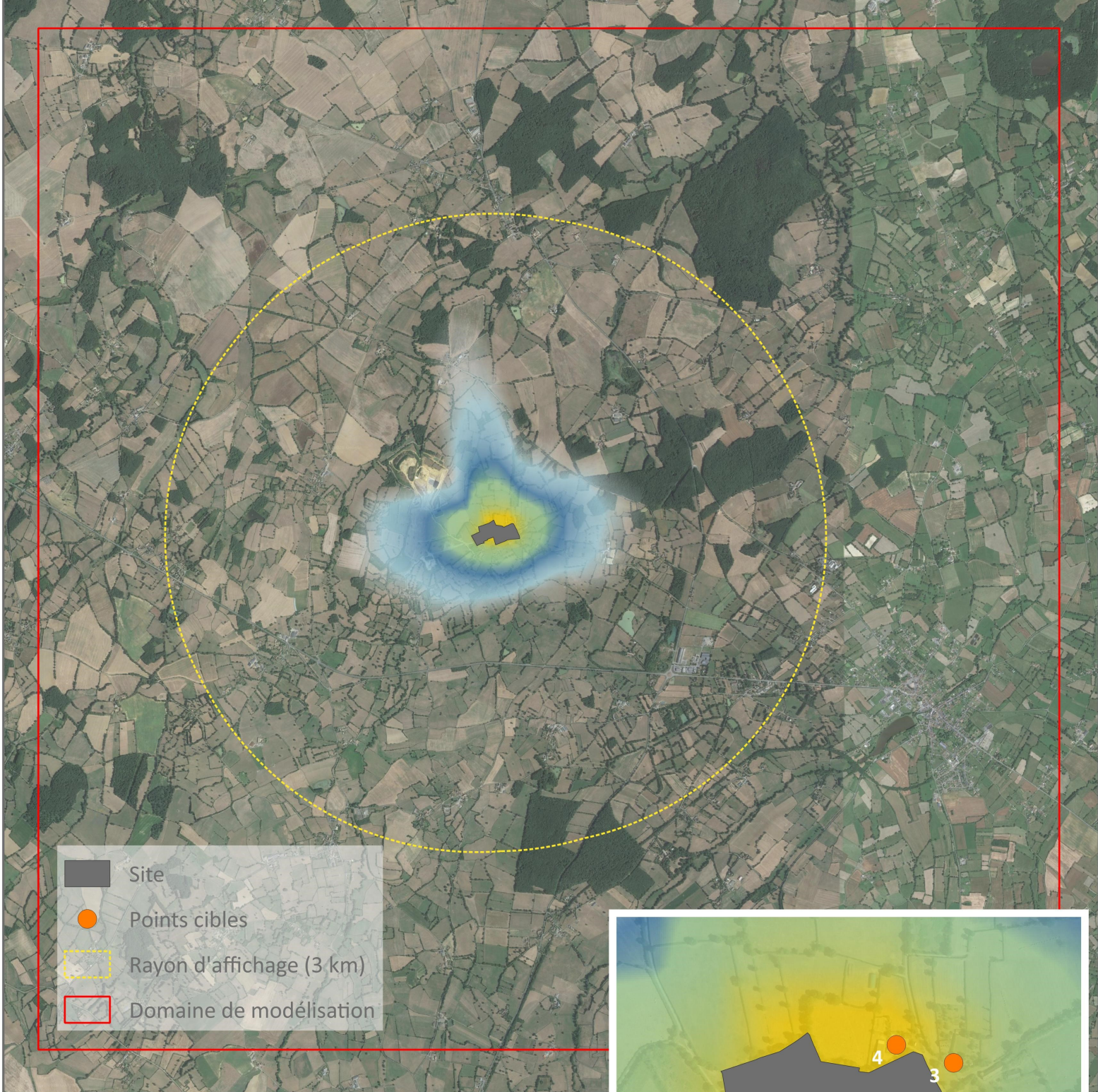
-  $< 2.5\text{e-}10$
-  $[2.5\text{e-}10 - 5.0\text{e-}10]$
-  $[5.0\text{e-}10 - 1.0\text{e-}09]$
-  $[1.0\text{e-}09 - 1.0\text{e-}08]$
-  $> 1.0\text{e-}08$



0 100 200 m

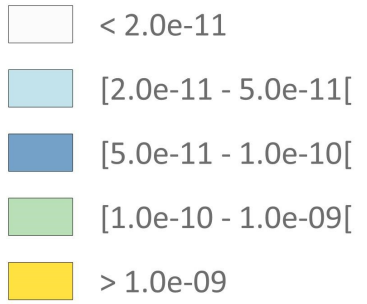
Source : image satellite google





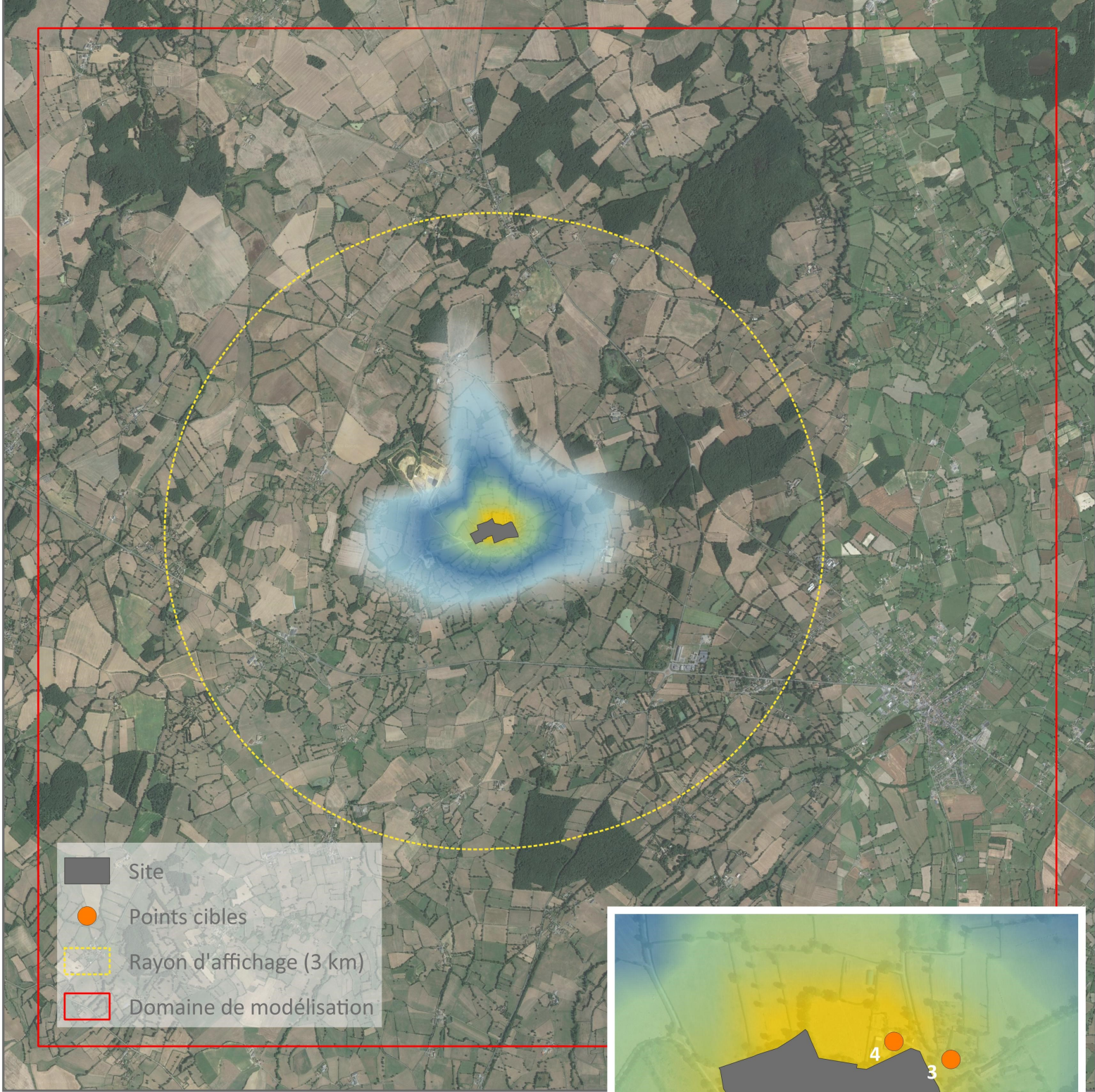
Dépôts au sol ($\mu\text{g}/\text{m}^2/\text{s}$)

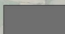


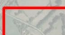
Nickel



Source : image satellite google










-  Site
-  Points cibles
-  Rayon d'affichage (3 km)
-  Domaine de modélisation

0.5 1 1.5 2 km



Dépôts au sol ($\mu\text{g}/\text{m}^2/\text{s}$)

Selenium

-  $< 2.0\text{e-}12$
-  $[2.0\text{e-}12 - 5.0\text{e-}12]$
-  $[5.0\text{e-}12 - 1.5\text{e-}11]$
-  $[1.5\text{e-}11 - 1.0\text{e-}10]$
-  $> 1.0\text{e-}10$

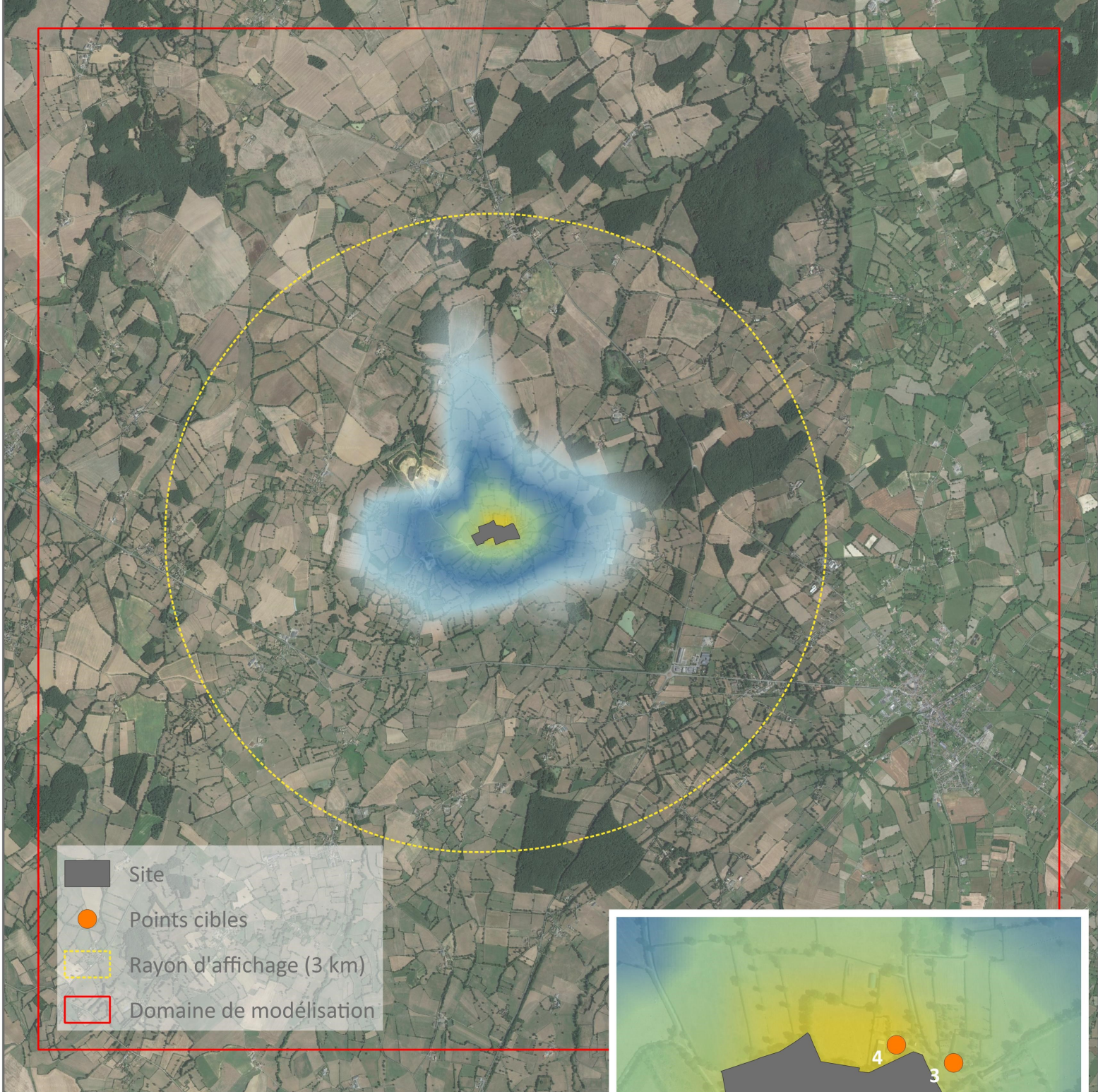






0 100 200 m



Source : image satellite google








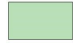

-  Site
-  Points cibles
-  Rayon d'affichage (3 km)
-  Domaine de modélisation

0.5 1 1.5 2 km



Dépôts au sol ($\mu\text{g}/\text{m}^2/\text{s}$)

Zinc

-  $< 2.0\text{e-}10$
-  $[2.0\text{e-}10 - 5.0\text{e-}10]$
-  $[5.0\text{e-}10 - 2.0\text{e-}09]$
-  $[2.0\text{e-}09 - 2.0\text{e-}08]$
-  $> 2.0\text{e-}08$



0 100 200 m



Source : image satellite google

